

クイーバーゲージ理論と特異トーリックカラ ビ・ヤウ多様体上のD4-D2-D0束縛状態の 数え上げ

吉田豊(KEK)

based on

Takahiro Nishinaka, Satoshi Yamaguchi and Y. Y
arXiv:1304.6724[hep-th]

type-IIA superstringをtoric CY3-foldでコンパクト化

4次元には8-SUSYが残る。
(central chargeがある)

BPS粒子は準安定であるが、モジュライの特殊な領域(wall)で崩壊するので全領域で決定するのは難しい

またCY 3-foldのサイクルに巻きつくBPS D-フレーンの束縛状態は4次元方向ではBPS particleとして見える。

**BPS D-フレーンの束縛状態を数え上げることは
BPS particleの状態数を数え上げることに対応する**

Counting BPS D-brane bound states on toric CY 3-fold

D6-D2-D0 bound states

Wall-crossing

(Jafferis-Moore:arXiv:0810.4909[hep-th])

Melting crystal picture
(singular limit)

3-dimensional complex space:

(Iqbal-Nekrasov-Okounkov-Vafa:
hep-th/0312022)

conifold:

(Szendroi:arXiv:0705.3419[math.AG])

toric CY 3-fold:

(Mozgovy-Reineke:arXiv:0809.0117 [math.AG])
(Ooguri-Yamazaki:arXiv:0811.2801[hep-th])

D4-D2-D0 bound states

Wall-crossing

(Nishinaka-Yamaguchi: arXiv:1007.2731[hep-th], arXiv:1107.4762[hep-th]
Nishinaka: arXiv:1010.6002[hep-th])

Melting crystal picture
(singular limit, interpretation)

Conifold:

Nishinaka-Yamaguchi:arXiv:1102.2992[hep-th]

Generalized conifold:

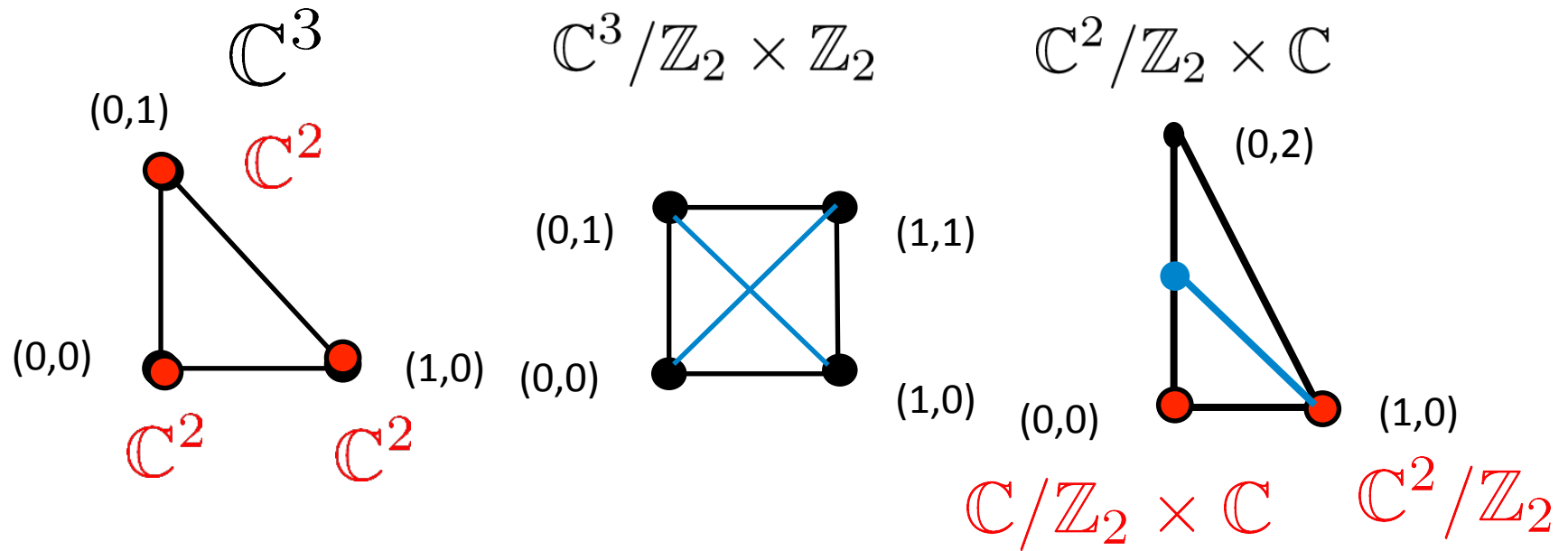
Nishinaka-Y.Y arXiv:1108.4326[hep-th]

今日の話:singular limitでのD4-D2-D0束縛状態数
を与える統計模型の一般的な構成法

content

- Toric diagram
- BPS D6-D2-D0 case(Review)
- BPS D4-D2-D0 case
- まとめ

Toric diagram=integral lattice polytope



Vertex: non-compact 4-cycle (toric divisor)

Edge: non-compact 2-cycle

Triangulation: Blow-up

D6-D2-D0 case

$$Z^{\text{D6-D2-D0}} = \sum_{n, m^I} \Omega_{m^I, n} q^n \prod_I Q_I^{m_I}$$

A D6-brane: CY 3-fold全体に巻きついている

D2-branes: compact 2-cyclesに巻きついている

D0-branes: CY 3-foldでは点状に存在している

q : Boltzmann weight for D0-charge

Q_I : Boltzmann weight for I -th D2-charge

n : D0-brane charge

m_I : I -th D2-brane charge

#(BPS bound states)=Witten indices of quiver gauge theory

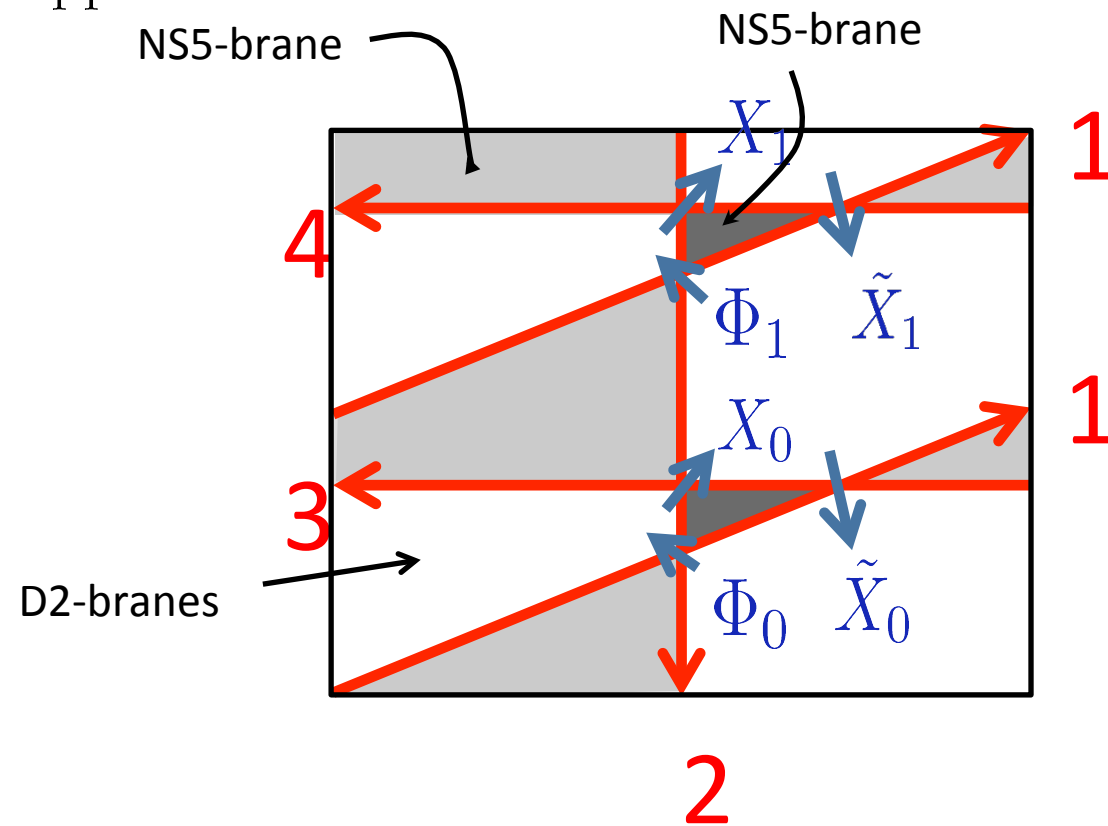
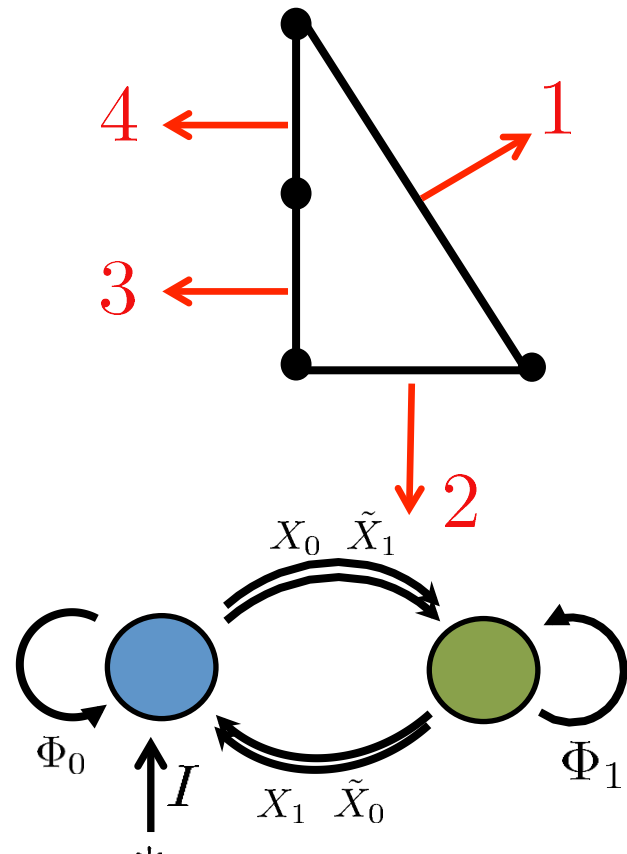
Toric CY 3-fold $\sim T^2 \times \mathbb{R}$ fibration on \mathbb{R}^3 .

Taking T-dual along the the T^2 -directions,

(Hanany and Vegh 2005)

CY 3-fold is mapped to NS5-brane system

D0,D2-branes are mapped to D2-branes



$$W_0 = \Phi_0(X_1\tilde{X}_1 - \tilde{X}_0X_0) + \Phi_1(X_0\tilde{X}_0 - \tilde{X}_1X_1)$$

#(BPS bound states)=Witten indices of quiver gauge theory

Witten indices=the number of $U(1)^3$ -fixed point of the Vacua.

The fixed points

= $(\text{The paths in the quiver diagram}) / (\text{The F-term conditions})$

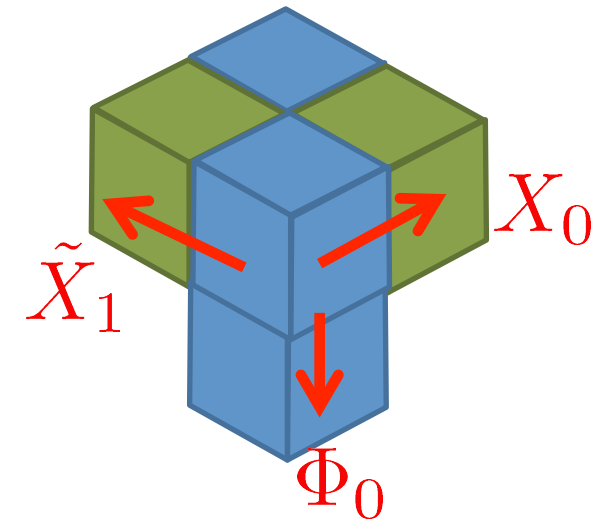
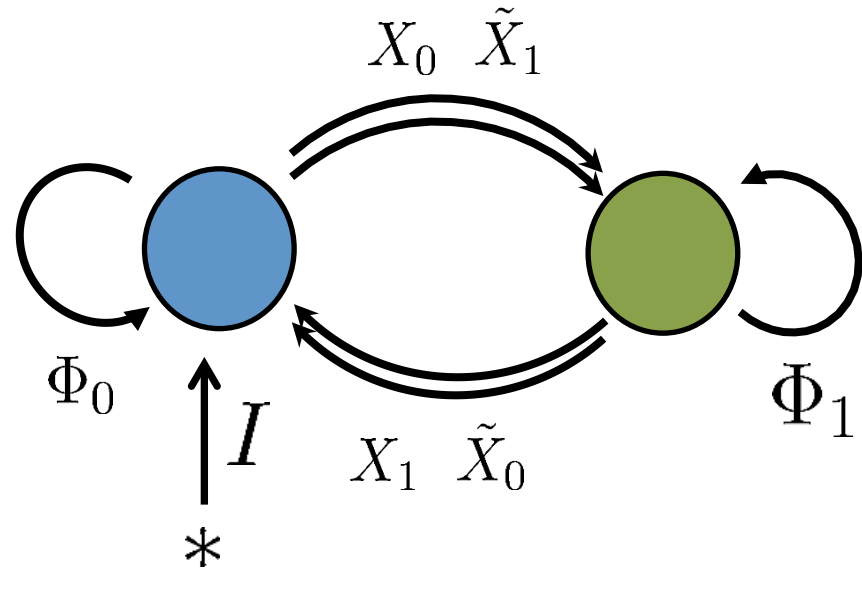
例

$$Z_{\text{D6-D2-D0}}^{\mathbb{C}^2/\mathbb{Z}_2 \times \mathbb{C}} = \sum_{m,n} \Omega_{n,m} q^n Q^m$$

Q : fugacity of D2-brane charge

q : fugacity of D0-brane charge

$\Omega_{m,n}$: Witten index



$$Z_{\text{D6-D2-D0}}^{\mathbb{C}^2/\mathbb{Z}_2 \times \mathbb{C}} = \dots + \begin{array}{c} \text{blue cube} \end{array} + \begin{array}{c} \text{blue cube} \\ \text{blue cube} \end{array} + \begin{array}{c} \text{blue cube} \\ \text{green cube} \end{array} \begin{array}{c} \text{green cube} \\ \text{blue cube} \end{array} + \dots$$

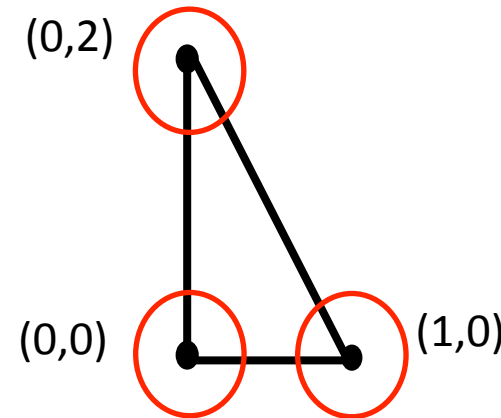
$$q^n = q^{\left(\# \begin{array}{c} \text{blue cube} \\ \text{green cube} \end{array} \right)} = 1 + Q + Q^2 + 2q + \dots$$

$$Q^m = Q^{\left(\# \begin{array}{c} \text{blue cube} \end{array} \right)} = \prod_{n=1}^{\infty} \left(\frac{1}{1 - q^n} \right)^{2n} \left(\frac{1}{1 - Qq^n} \right)^n \left(\frac{1}{1 - Q^{-1}q^n} \right)^n$$

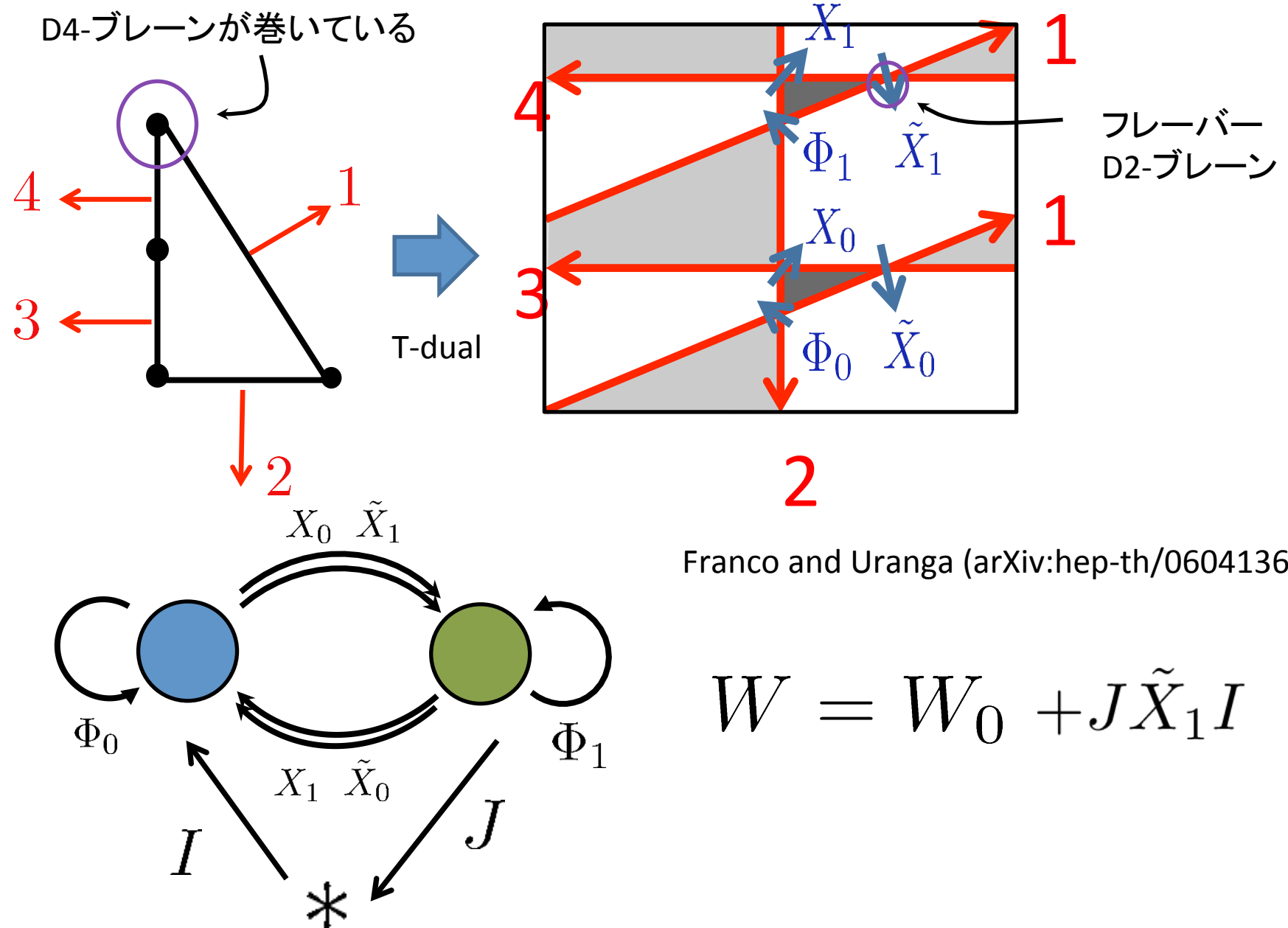
(Young-Bryan: [arXiv:0802.3948](https://arxiv.org/abs/0802.3948)[math.CO])

BPS D4-D2-D0 case

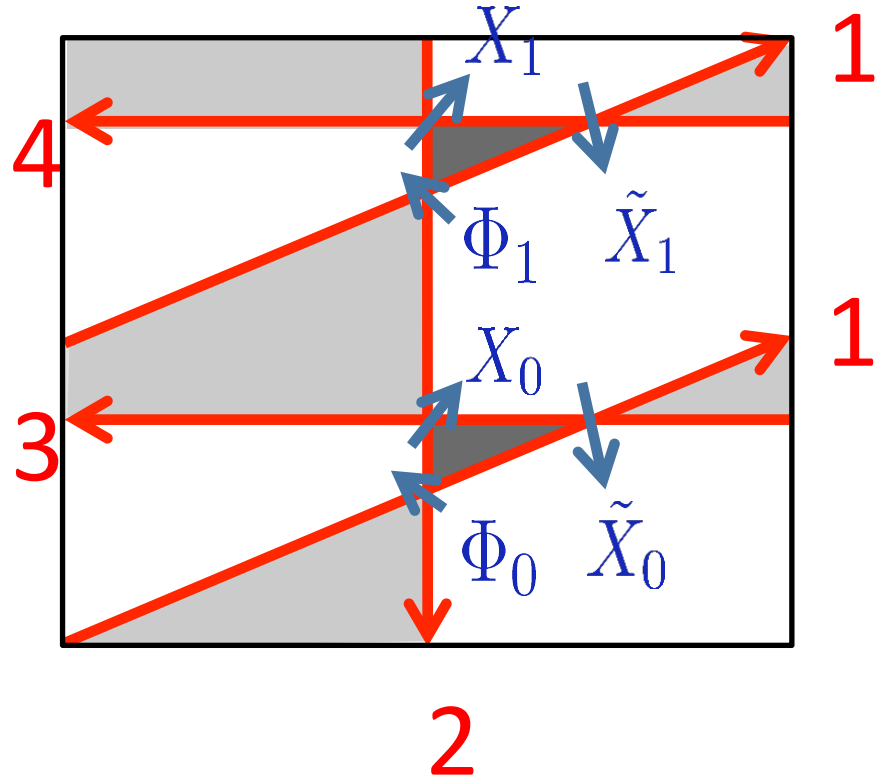
A D4-brane :wrapping on a toric divisor
D2-branes: wrapping on compact 2-cycles
D0-branes: point like on the CY 3-fold



The D4-brane is mapped to a D2-brane by T-dual.

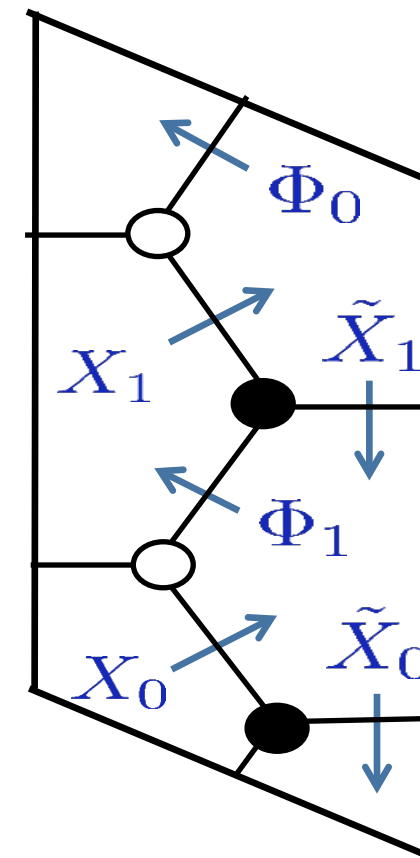


brane-tiling



superpotential: face (gray region)
chiral field: intersection points
vector multiplet: face (White region)

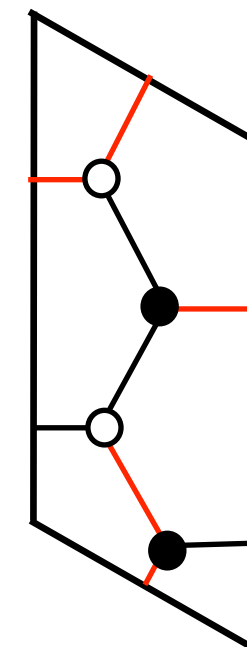
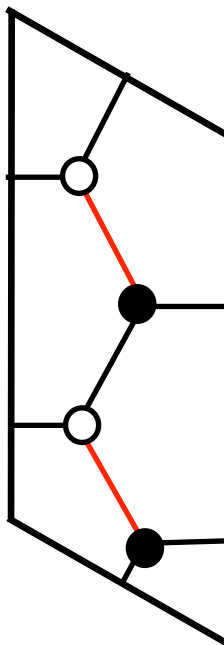
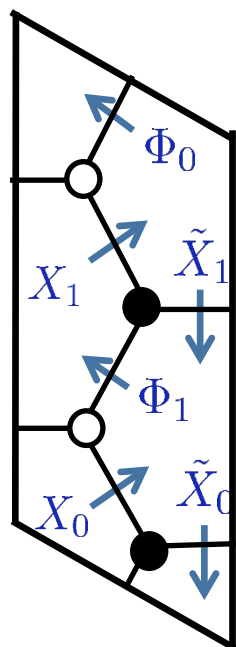
Bipartite graph

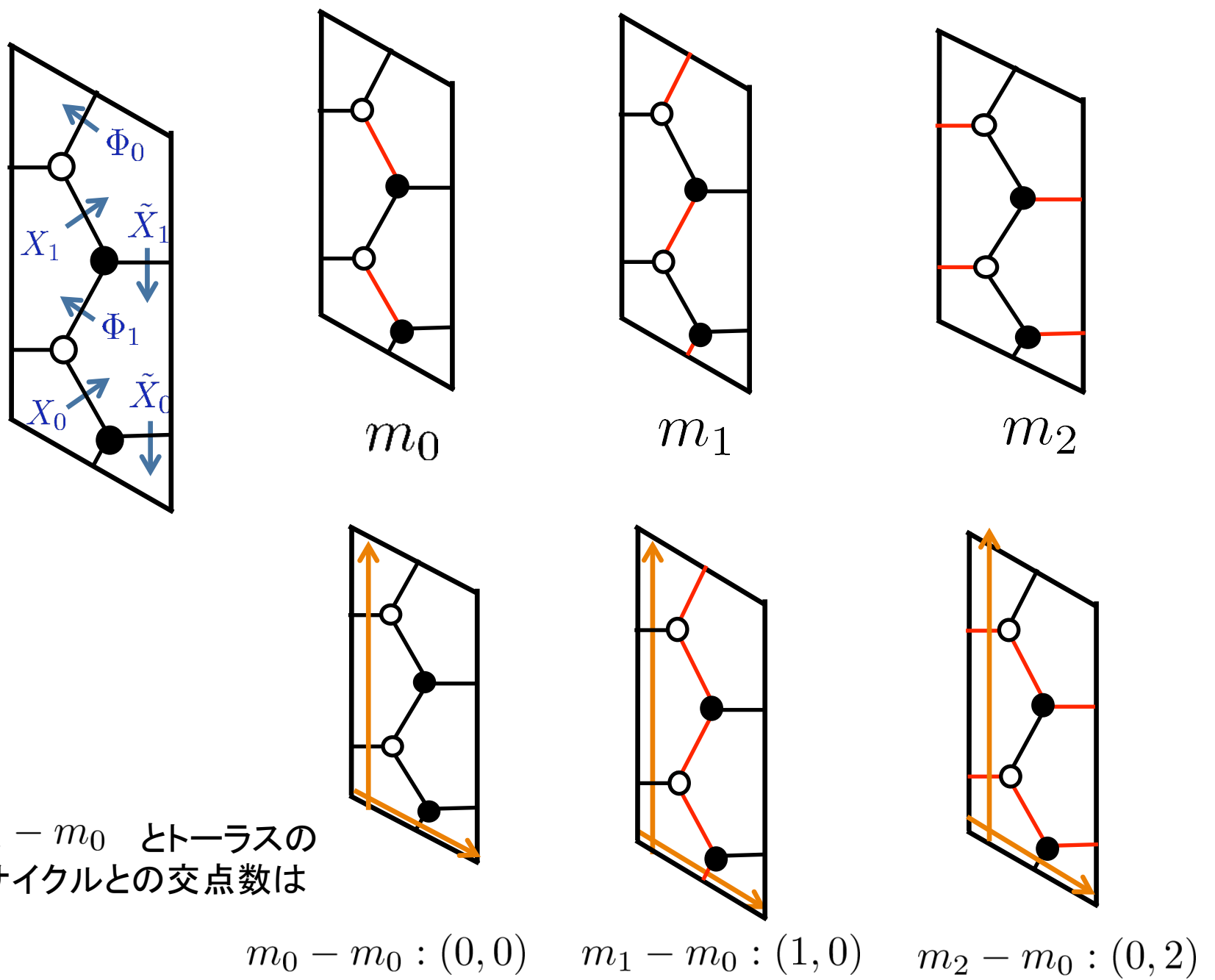


superpotential: vertex
chiral field: edge
vector multiplet: face

Perfect matching condition

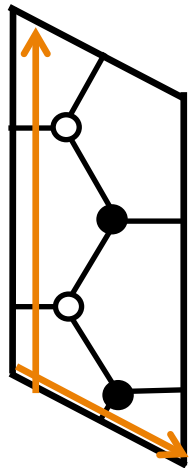
perfect matching condition:**bipartite graph**の**edgeたちの指定の仕方**
ただし、各**vertex**は指定された**edge**に一回だけ繋がっている



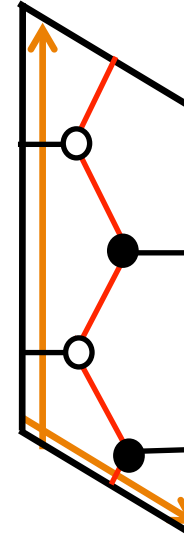


toric diagramの角にあるvertexは次の意味で perfect matching conditionと一対一対応にある

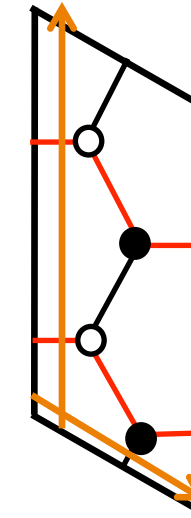
(Broomhead arXiv:0901.4662[math.AG])



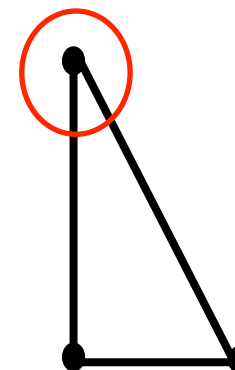
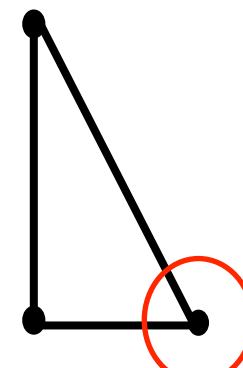
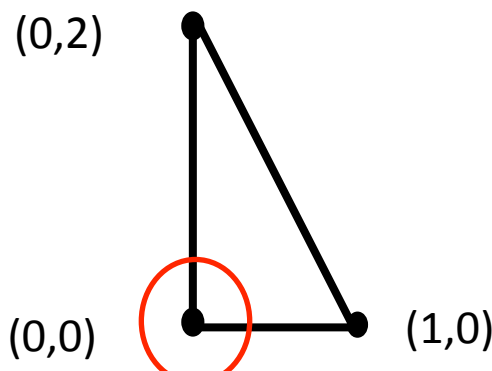
$$m_0 - m_0 : (0,0)$$



$$m_1 - m_0 : (1,0)$$



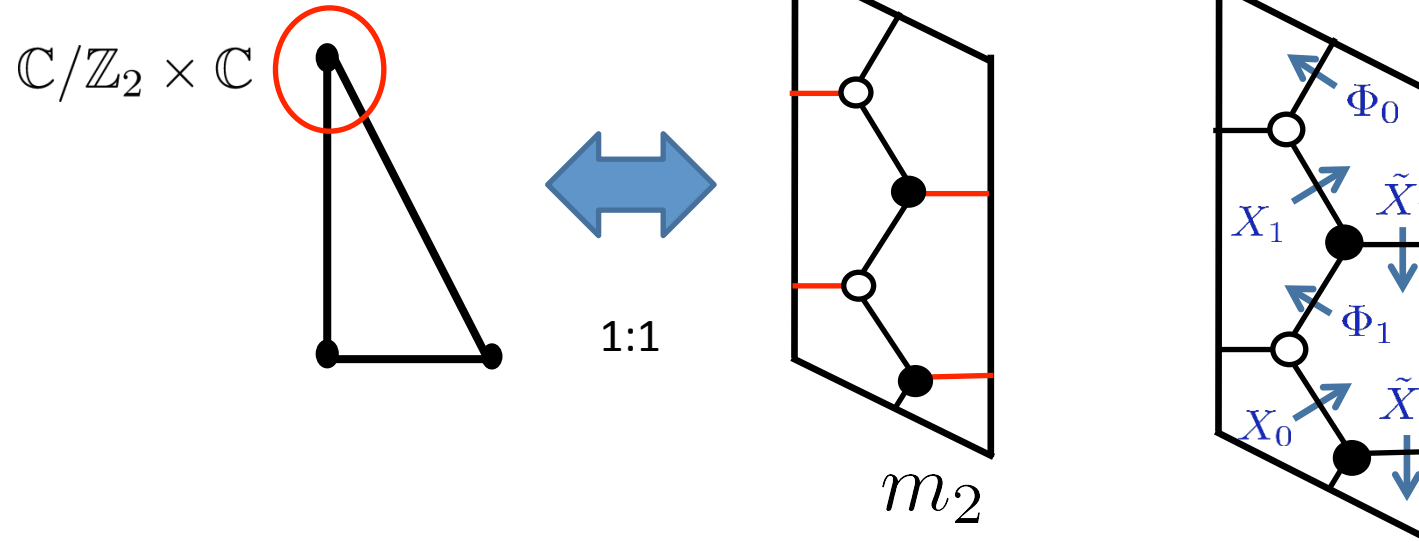
$$m_2 - m_0 : (0,2)$$



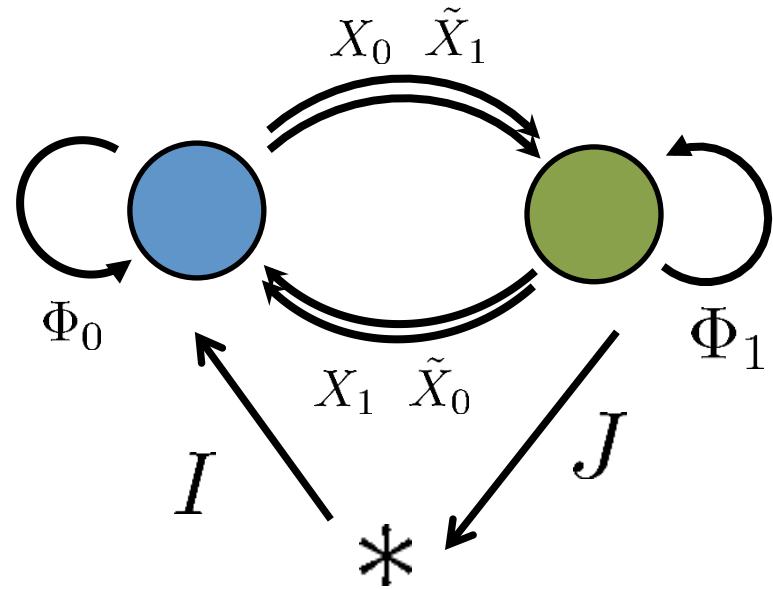
D4-D2-D0 stateに付随するクイーバーゲージ理論のSUSY vacuaでは
D4-ブレーンが巻きつくtoric divisorに1:1対応するperfect matchingに
含まれるカイラル場はゼロ。またJ=0である。

D4-D2-D0 stateの状態数はD6-D2-D0 stateを与える結晶模型に上の条件
を課したもので与えられる。(T.Nishinaka, S.Yamaguchi and Y.Y)

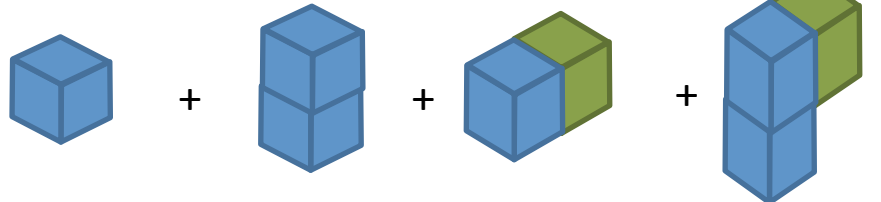
例



$$\tilde{X}_0 = 0, \quad \tilde{X}_1 = 0$$



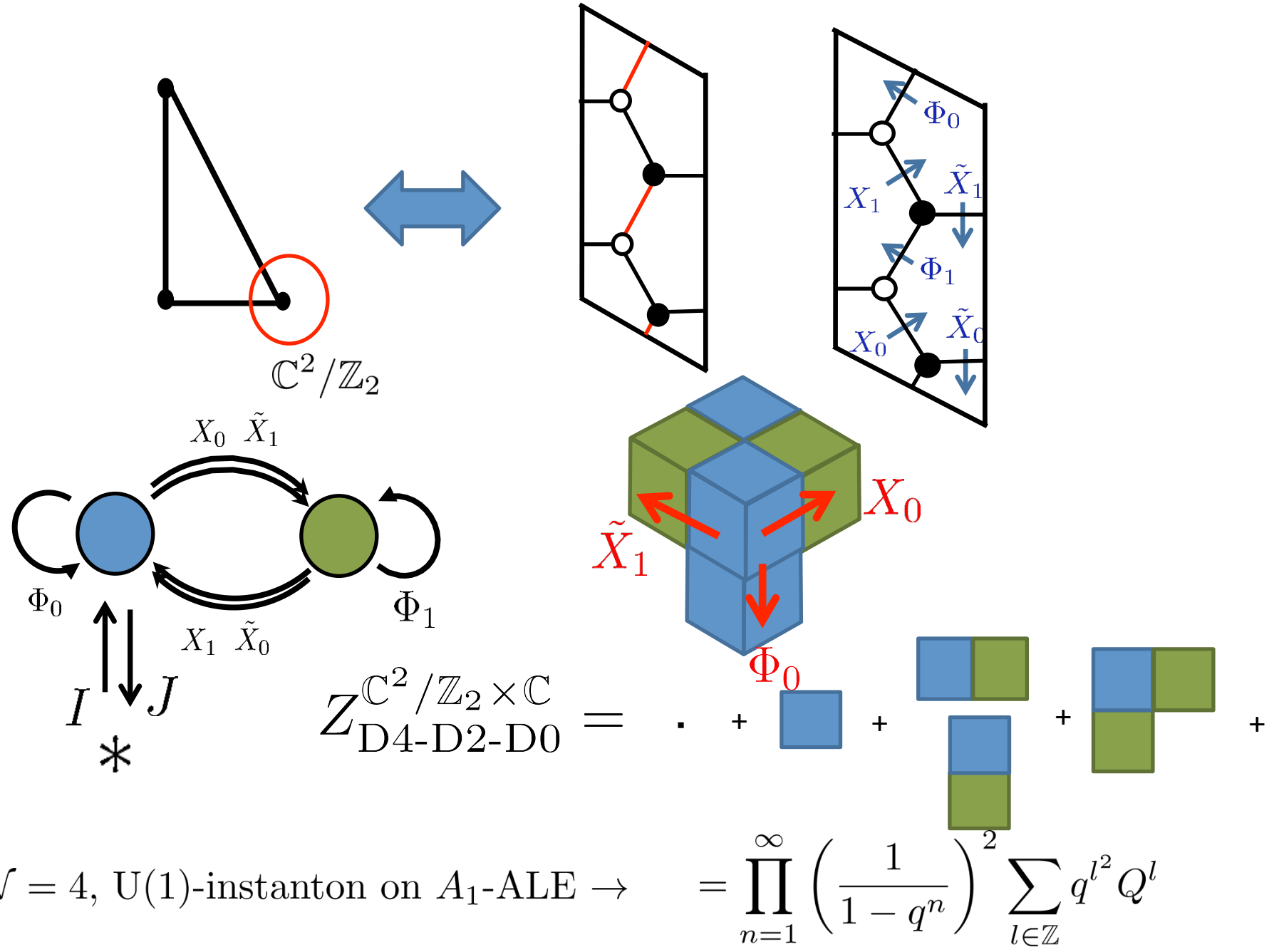
$$Z_{\text{D4-D2-D0}}^{\mathbb{C}^2/\mathbb{Z}_2 \times \mathbb{C}} =$$



$$= 1 + Q + Q^2 + q + 2qQ + \dots$$

$\mathbb{C}/\mathbb{Z}_2 \times \mathbb{C}$ 上の $U(1)$ インスタントン
分配関数に一致

$$= \prod_{n=1}^{\infty} \left(\frac{1}{1 - q^n} \right) \prod_{m=0}^{\infty} \left(\frac{1}{1 - Qq^m} \right)$$



まとめ

コンパクト4-cycleを持たない特異toric CY 3-fold上におけるD4-D2-D0束縛状態を数え上げる方法を確立した。

D4-D2-D0束縛状態はD6-D2-D0束縛状態の数え上げを与える3次元結晶の2次元部分結晶として与えられる。

我々の与えた結果はWall-Crossing formulaあるいはVafa-Witten理論から計算された結果と一致する。